

В.О. Зуєв, Л.М. Гориня, Н.Ю. Лавриненко, В.С. Манжара

## Вплив електронного опромінювання на фотолюмінесценцію і край поглинання в $\text{CdP}_2$

*Державний університет інформаційно-комунікаційних технологій  
03110, Київ, Вул. Солом'янська, 7.*

Досліджено вплив електронного опромінювання (1 МеВ) на фотолюмінесценцію і край поглинання кристалів  $\text{CdP}_2$ . Знайдено прояв температурних фазових переходів та радіаційне упорядкування кристалів.

**Ключові слова:** поглинання, фотолюмінесценція, дифосфід кадмія, фазовий перехід.

*Стаття постуила до редакції 07.11.2005; прийнята до друку 15.03.2006*

### Вступ

Кристали дифосфіду кадмія останнім часом привертають увагу дослідників, що зумовлено особливістю їх кристалічної структури та можливістю практичного використання в напівпровідниковій електроніці. Для цієї речовини симетрія фрагментів з сильним зв'язком аніон-катіон (фосфорні згрупування) нижча, ніж симетрія всього кристалу. В результаті можуть створюватися ідентичні по симетрії, але трансляційно нееквівалентні шарові пакети (ШП), які слабо зв'язані між собою, і довгоперіодичні одномірні модульовані структури типу простої спіралі (SS), тобто поперечні або поздовжні спінові хвилі (солітонні ґратки) [1]. Слабкість зв'язку між ШП може приводити до політіпії і полегшеності фазово-структурних перетворень в об'ємі і на поверхні кристалу.

Структурні особливості кристалів  $\text{CdP}_2$  зумовлюють ряд незвичайних їх фізичних характеристик. Зокрема, в них спостерігаються аномалії в: температурних залежностях параметрів кристалічної ґратки, рентгенографічних характеристиках, теплоємності, інтенсивності КРС і показника заломлення [2-7]. Зроблено припущення, що фазовий перехід (ФП) сумірна - несумірна фаза (ФП типу низькосиметрична- високосиметрична фаза) зумовлює "інварний ефект"- відсутність теплового розширення ґратки при зміні температури та прояву мінімуму в температурній залежності швидкості ультразвуку. Нами виявлено [8], що саме в цих температурних інтервалах спостерігаються зміни характеристик краю поглинання. Таким чином, дослідження температурних змін краю поглинання може бути використано, як чутливий метод, для

вивчення температурних змін структури цих кристалів та впливу на неї зовнішніх факторів.

Можливу перебудову кристалічної ґратки можна здійснити електронним опромінюванням. Відомо, що при енергії електронів порядку 1 МеВ в бінарних напівпровідниках можуть утворюватися первинні радіаційні дефекти типу Френкеля- вакансії та міжвузлові атоми в обох підґратках сполуки, що може викликати перебудову структури нестійкої ґратки. В даній роботі виконані порівняльні дослідження фотолюмінесценції і температурних залежностей краю поглинання (КП) в монокристалах  $\text{CdP}_2$  еталонних та опромінених електронами. Температурний інтервал попередніх досліджень КП [8] для неопромінених зразків розширився до 4,2 К, що дозволило суттєво поповнити рентгенографічні, теплоємнісні, електронографічні та фотоелектричні дані про сполуку  $\text{CdP}_2$ .

### I. Зразки, методи і результати досліджень

Вихідні кристали, вирощені в ІФТТ НП АН Білорусі методом описаним у [4], мали р-тип провідності, концентрацію носіїв заряду –  $10^{16} \text{ см}^{-3}$ . Зразки опромінювалися електронами (дозами до  $10^{14} \text{ ел/см}^2$ , енергією 1 МеВ) у вакуумі при кімнатній температурі протягом 100 с.

На рис.1 представлені дані про низькотемпературну фотолюмінесценцію (ФЛ) еталонних і опромінених зразків. В еталонних спектрах фіксується серія піків  $A_0-A_7$ , які спостерігались раніше [9,10]. Встановлене екситонне походження цих піків (об'ємні екситони, які зв'язані на центрах з аксіальною симетрією). Лінія  $A_0$

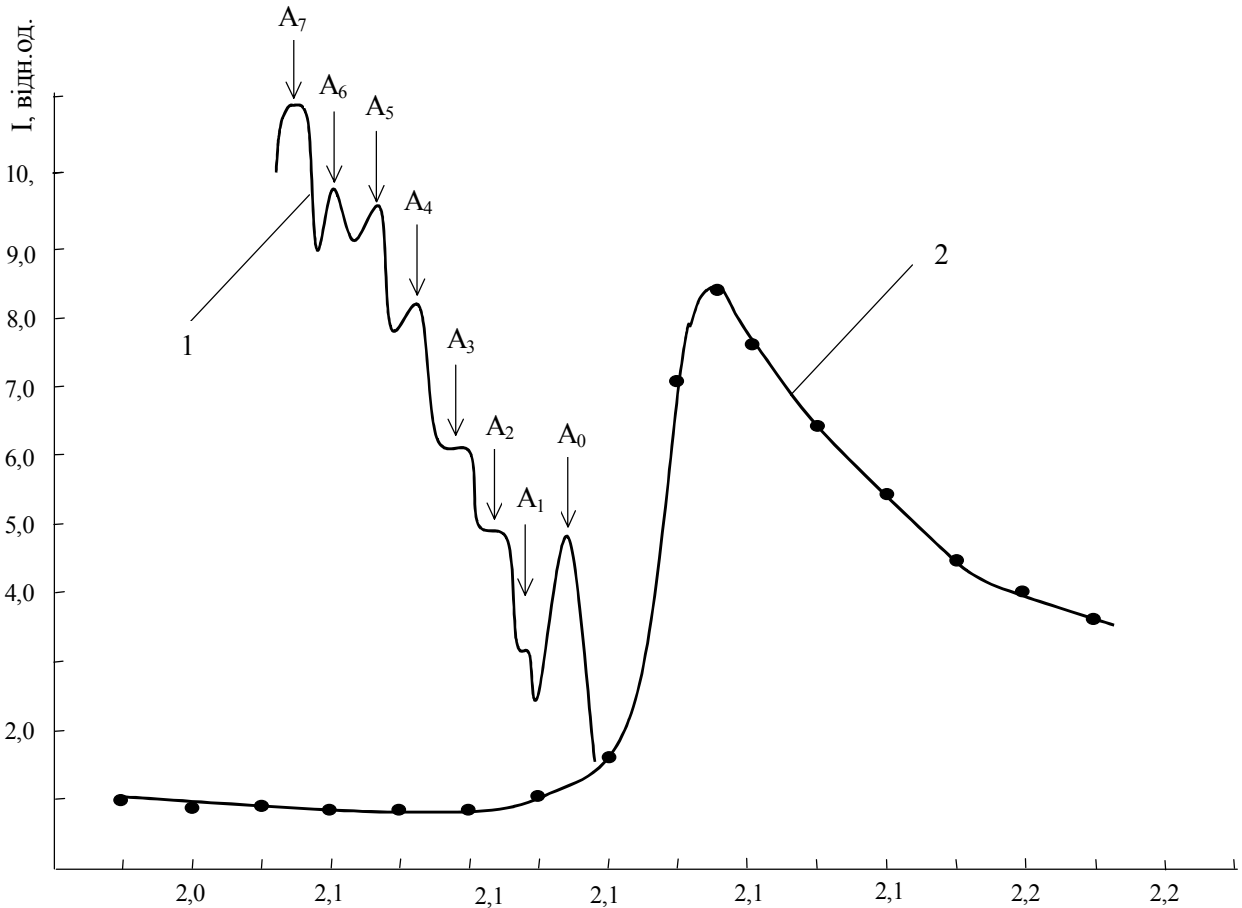


Рис. 1. Спектри прикорйової ФЛ дифосфїду кадмїя (1-вихїднї кристали, 2- кристали опромїненї електронами).

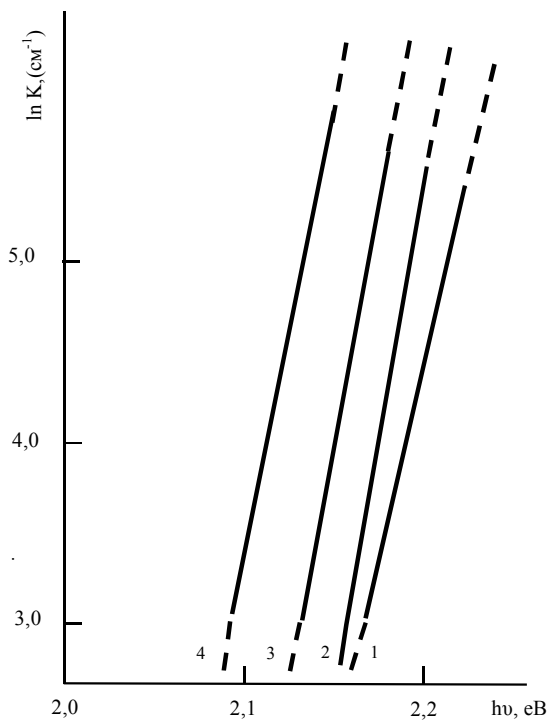


Рис. 2. Залежнїсть  $\ln K$  вїд  $h\nu$  для вихїднїх (неопромїненїх електронами) монокристалїв дифосфїду кадмїя для температур  $T, K$ : 1- 4,2; 2- 50; 3- 100; 4- 150.

вїдповїдає безфононному переходу, а лїнїя  $A_1$ – $A_7$  –

переходам за участю фононїв рїзної енергїї.

Пїсля опромїнюваннн вихїдна структура зникає. Одночасно виникає розмита і асиметрична смуга в дїапазонї (2,15- 2,20) еВ.

Як впливає з [9], ширина забороненої екситонної зони  $E_g^{ex}$  дорївнює 2,153 еВ ( $E_{11c}$ ) або 2,152 еВ ( $E_{\perp c}$ ). Тобто залежнїсть вїд поляризацї слабка. Цї значеннн вїдповїдають нашим даним для ФЛ (крива 1).

Для опромїненїх зразкїв має мїсце ФЛ з  $h\nu > E_g$ , тобто поверхнева ФЛ. В умовах об'ємної ФЛ таке свїтїння маскується самопоглинанням. Одночасно таких обмежень немає для поверхневої люмінесценцїї.

На рис. 2 представленї залежнїостї  $\ln K(h\nu)$  для неопромїненїх монокристалїв CdP<sub>2</sub> (1-  $T=4,2 K$ ; 2- 50K; 3- 100 K; 4- 150 K). Вїдно, що при зниженнї температури КП змїщується в короткохвильову область і стає крутїшим. Перетин залежнїостей  $\ln K(h\nu)$  в одній тоцї (виконаннн правила Урбаха) не спостерїгається.

На рис. 3 наведенї залежнїостї  $\ln K(h\nu)$  для опромїненїх електронами зразкїв (1-  $T=4,2 K$ ; 2- 50K; 3- 100 K; 4- 150 K). Вїдно, що пїсля опромїнюваннн з'являється дїапазон температур (4,2-100)K, в якому прнмї залежнїостї  $\ln K(h\nu)$  перетинаються. Точка перетину має координати (параметри правила Урбаха [11]:  $E_0=2,196 eV$  і  $\ln K_0=8,44$ ).

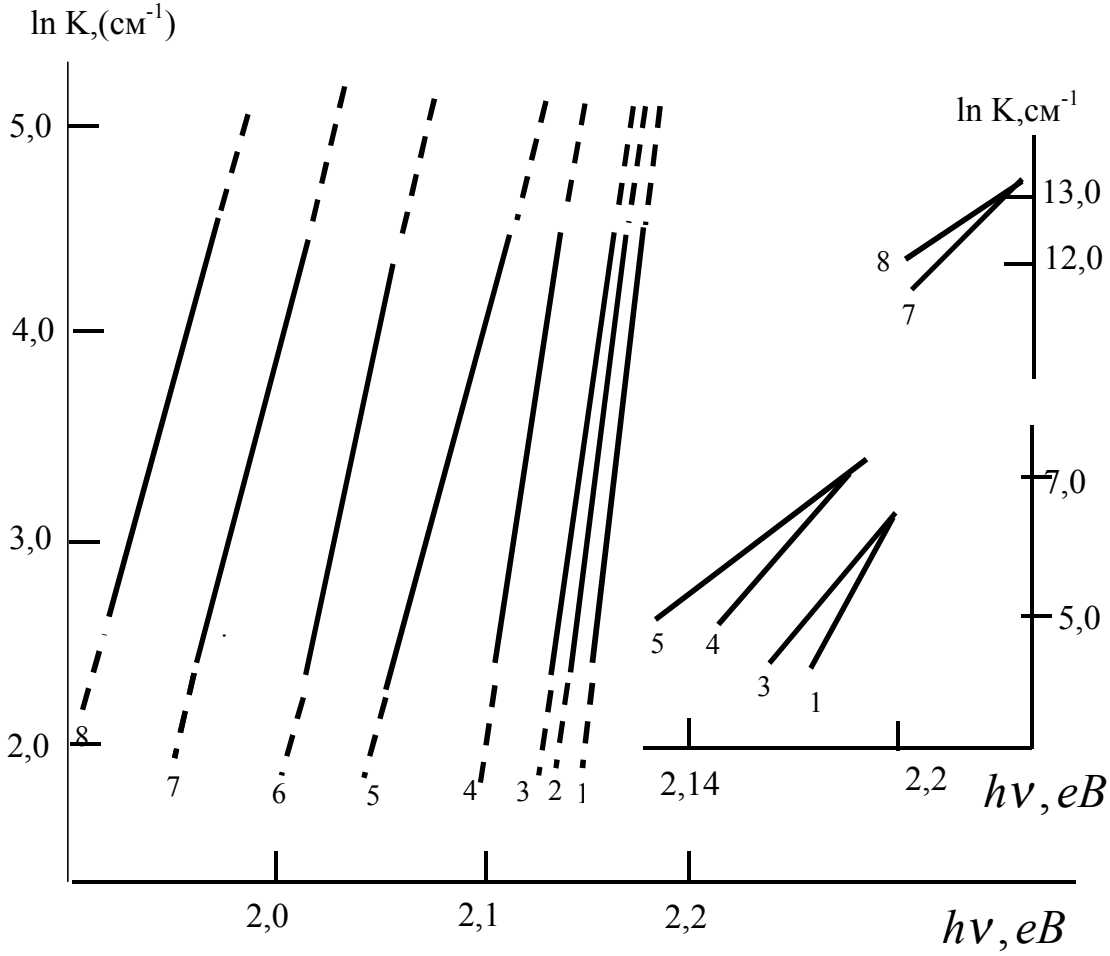


Рис. 3. Залежності  $\ln K$  від  $h\nu$  для опромінених електронами монокристалів дифосфіду кадмія для температур  $T, K$ : 1- 4,2; 2- 50; 3- 100; 4- 150.

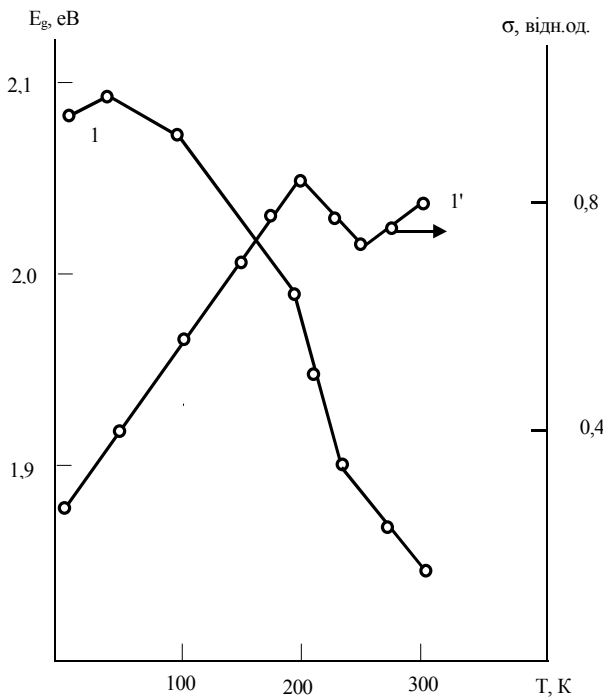


Рис. 4. Температурна залежність  $E_g$  і  $\sigma$  для вихідних кристалів  $\text{CdP}_2$ .

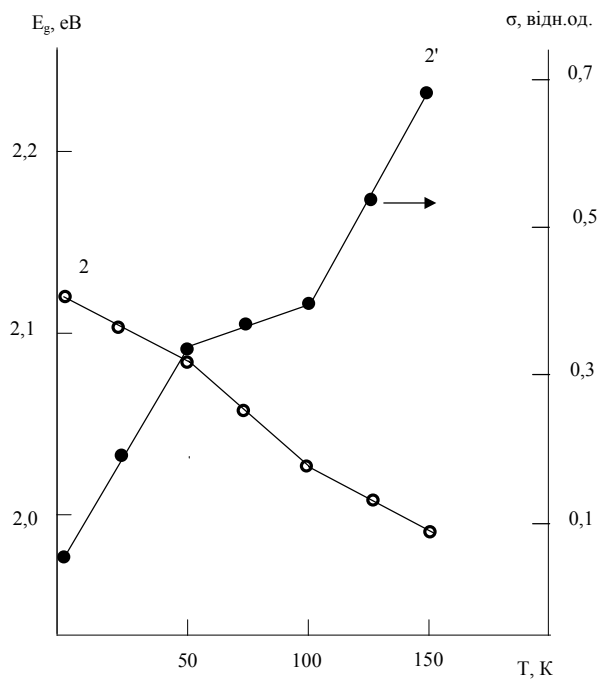


Рис. 5. Температурні залежності  $E_g$  і  $\sigma$  для кристалів  $\text{CdP}_2$  опромінених електронами.

Таким чином, в опромінених зразках виконання правила Урбаха спостерігається в діапазоні (4,2-100)К, що суттєво відрізняється від ситуації для неопромінених кристалів CdP<sub>2</sub>.

На рис. 4, рис. 5 приведені залежності параметрів правила Урбаха  $E_g(T)$  і  $\sigma(T)$  для неопромінених (1, 1') і опромінених (2, 2') зразків. Найяскравіше не монотонність залежності  $\sigma(T)$  проявляється в опромінених кристалах при 50 і 100 К.

## II. Обговорення отриманих результатів

Невиконання правила Урбаха у вихідних кристалах [11] вказує на їх низьку симетрію. Згідно [1,4,7] це обумовлено проявом несумірної фази. Виконання правила Урбаха після опромінювання свідчить про появу більш симетричної сумірної фази. Не монотонність залежності  $\sigma(T)$  згідно [4,7] може вказувати на фазовий перехід типу “сумірна - несумірна” фази.

Отриманий результат трохи незвичний. Адже згідно з [12] більшість (як релаксуючих, так і заморожених) дефектів, що виникають при опроміненні, повинні знижувати симетрію кристалів (погіршуюча дія опромінювання). Експериментально ж виявлено прояв формування більш високо симетричної фази, тобто спостерігалася поліпшуюча дія такого поверхневого впливу як електронне опромінювання.

Слід відмітити, що на відміну від проникаючого  $\gamma$ - опромінювання, електронне опромінювання впливає безпосередньо лише на приповерхневу ділянку монокристалу. Одночасно зміни характеристик краю поглинання свідчать про структурні зміни в об'ємі кристалу [15-16]. Можна зробити висновок, що впорядкування монокристалу відбувається завдяки гетеруванню дефектів з його об'єму на поверхню [17].

Таким чином, перебудова поверхневого шару після опромінювання відбувається в напрямі радіаційно- стимульованого флуктуаційного фазового переходу (ФФП). Як відомо, наявність в гамільтоніані для кристалів CdP<sub>2</sub> інваріанту Ліфшиця обумовлює можливість подібних ФФП, які супроводжуються утворенням природної надгратки та мінізонної структури [1]. Вихід

надгратки на поверхню дозволяє спостерігати відповідне випромінювання, енергія якого перевищує ширину зони, що обумовлена основною граткою кристалу.

Мабуть, аналогічне випромінювання, яке спостерігалось в GaAs [13], також пов'язане з утворенням мінізон на поверхні GaAs. Це імітує виникнення “широкозонної фази”.

## Висновки

Таким чином, отримані в роботі дані доповнюють експериментальні результати, проаналізовані в [1] для ZnP<sub>2</sub> та CdP<sub>2</sub> по утворенню в цих кристалах мінізон. Як теоретично обгрунтовано в [1], виникнення мінізон є наслідком утворення довгоперіодичних модульованих структур, з періодом який набагато перевищує період основної гратки. В свою чергу, поява надструктури викликана порушенням “природного” кута між квазіспінами сусідніх шарових пакетів. Їх неоднорідне упакування приводить до прояву модульованих структур типу простої спіралі або солітонної гратки. При цьому мілке дроблення енергетичних зон (і взагалі спектру збудження) є прямим наслідком одномірного модульованого потенціалу, як і у класичних гратках.

Слід відзначити, що в якості альтернативної моделі можна розглядати можливість прояву (в фото-ЕРС і фотолюмінесценції) квазідіелектричної фази з  $E_g$  більшою, ніж у CdP<sub>2</sub>.

Для остаточних висновків необхідний подальший розвиток теорії [1], конкретний розрахунок (на основі рівнянь Мат'є) ширини мінізон і мініщілин у CdP<sub>2</sub> для кількісного співставлення теорії та експерименту. Необхідні також оже- спектроскопічні дослідження поверхневих фаз.

**Зуєв В.О.** – доктор фізико-математичних наук, професор;

**Гориня Л.М.** – кандидат фізико-математичних наук, доцент, провідний науковий співробітник Національної академії оборони України;

**Лаврінченко Н.Ю.** – кандидат фізико-математичних наук, доцент;

**Манжара В.С.** – кандидат фізико-математичних наук, старший науковий співробітник.

[1] Г.П. Чуйко // *УФЖ*, **34**(2), сс. 271-276 (1989).

[2] V.V. Sobolev, N.N. Syrby, N. N. Sushkevich // *Phys. status solidi B*. **43**(3), pp. 73-75 (1971).

[3] W. Zdanowicz, A. Wakowski // *Ibid.* **10**(1) pp. K93-K94 (1967).

[4] А.У. Шелег, Н.Р. Теханович, Т.И. Якубенко и др. // *Изв. АН СССР. Неорган. Материалы*. **23**(5), сс. 714-716 (1987).

[5] V.G. Fedotov, A.G. Bychkov, D.N. Karlikov // *Phys. status solidi A*. **76**(1), pp. 121-126 (1983).

[6] Л.М. Гориня, В.А. Зуев, В.Г. Федотов и др. // *УФЖ*. **34**(5), сс. 746-747 (1989).

[7] А.У. Шелег, В.П. Новиков // *ФТТ*, **24**(11), сс. 3508-3511 (1982).

[8] В.А. Зуев, Н.Ю. Лаврінченко, А.А. Мельников и др. // *УФЖ*. **35**(12), сс. 1804-1806 (1990).

- [9] Н.Н. Сырбу *Оптоэлектронные свойства соединений группы  $A^2B^5$* . Кишинев. Штиинца (1983).
- [10] R. Bindemann, U. Fisher, K. Kreher, N.N. Syrby // *Phys. status solidi B*. **69**(3), pp. K79-K84 (1975).
- [11] M.V. Kurik // *Phys. status solidi A*. **8**(2), pp. 9-45 (1971).
- [12] V.I. Halperin, C.M. Varma // *Phys. Rev. B*. –1976.-N9, P 4030-4041.
- [13] В.А. Зуев, А.В. Саченко, К.Б. Толпыго *Неравновесные процессы в полупроводниках и полупроводниковых приборах*. М. Сов. радио (1977).
- [14] Н.Л. Дмитрук // *Фундаментальные вопросы ионной имплантации: Материалы III Всесоюз. Шк. Алма-Ата, 17-23 июня 1985г.* Алма-Ата: Наука, сс. 60-81 (1987).
- [15] М.М. Курик, Л.И. Цикора // *ФТТ*. **11**(9), сс. 2624-2626 (1969).
- [16] V.I. Zametin // *Phys. status solidi B*. **124**(2), pp. 625-640 (1984).
- [17] Б.Н. Романюк. Физические принципы структурного планарного гетерирования // *Оптоэлектроника и полупроводниковая техника*. (16), сс. 37-42 (1989).

V.A. Zuev, L.M. Gorynya, N.U. Lavrinenko, V.S. Manjara

## **The Effect of Electron Irradiation on the Photoluminescence and the Absorption Edge of CdP<sub>2</sub>**

*Ukrainian National Defence Academy, 28 Povytroflotsky prospect, Kyiv 03045, Ukraine*

The effect of electron irradiation (1 MeV) on the CdP<sub>2</sub> crystal photoluminescence and the absorption edge has been studied. It has been found the showing of temperature phase transition and crystal radiation ordering.